

République Tunisienne
Ministère de l'Enseignement Supérieur et de la Recherche Scientifique
Direction Générale des Etudes Technologiques

*Concours de Recrutement des Technologues Spécialité : Génie
Electrique
Session 2020*

**Corrigé de
Epreuve de Technologie : Partie Electronique**

A - Principe physique de mesure

A.1.1. Calcul des absorbances $A(\lambda_1)$ et $A(\lambda_2)$.

$$\text{Pour } \lambda_1, I_1 = I_{01} 10^{-(\varepsilon_{01} c_0 + \varepsilon_{r1} c_r) \cdot d}$$

$$\text{Pour } \lambda_2, I_2 = I_{02} 10^{-(\varepsilon_{02} c_0 + \varepsilon_{r2} c_r) \cdot d}$$

$$T = \frac{I}{I_0} = 10^{-\varepsilon(\lambda) \cdot c \cdot d}$$

Ce qui donne

$$\text{Pour } \lambda_1 \quad T_1 = \frac{I_1}{I_{01}} = 10^{-(\varepsilon_{01} c_0 + \varepsilon_{r1} c_r) \cdot d}$$

$$\text{Pour } \lambda_2 \quad T_2 = \frac{I_2}{I_{02}} = 10^{-(\varepsilon_{02} c_0 + \varepsilon_{r2} c_r) \cdot d}$$

Nous avons aussi :

$$A(\lambda) = -\log_{10}(T)$$

D'où

$$\begin{cases} A(\lambda_1) = -\log T_1 = (\varepsilon_{01} c_0 + \varepsilon_{r1} c_r) \cdot d \\ A(\lambda_2) = -\log T_2 = (\varepsilon_{02} c_0 + \varepsilon_{r2} c_r) \cdot d \end{cases}$$

A.1.2. Montrons que $R = \frac{\varepsilon_{01} c_0 + \varepsilon_{r1} c_r}{\varepsilon_{02} c_0 + \varepsilon_{r2} c_r}$.

Etant donné :

$$\begin{aligned} R &= \frac{A(\lambda_1)}{A(\lambda_2)} \\ R &= \frac{A(\lambda_1)}{A(\lambda_2)} = \frac{(\varepsilon_{01} c_0 + \varepsilon_{r1} c_r) \cdot d}{(\varepsilon_{02} c_0 + \varepsilon_{r2} c_r) \cdot d} = \frac{\varepsilon_{01} c_0 + \varepsilon_{r1} c_r}{\varepsilon_{02} c_0 + \varepsilon_{r2} c_r} \end{aligned}$$

A.1.3. Mettons la concentration de l'hémoglobine réduite sous la forme suivante :

$$c_r = c_0 \cdot \frac{R \cdot \varepsilon_{02} - \varepsilon_{01}}{\varepsilon_{r1} - R \cdot \varepsilon_{r2}}$$

D'après A.1.2

$$\begin{aligned} R &= \frac{\varepsilon_{01} c_0 + \varepsilon_{r1} c_r}{\varepsilon_{02} c_0 + \varepsilon_{r2} c_r} \Leftrightarrow \\ R \cdot (\varepsilon_{02} c_0 + \varepsilon_{r2} c_r) &= (\varepsilon_{01} c_0 + \varepsilon_{r1} c_r) \Leftrightarrow \\ R \cdot \varepsilon_{02} c_0 + R \cdot \varepsilon_{r2} c_r &= (\varepsilon_{01} c_0 + \varepsilon_{r1} c_r) \Leftrightarrow \\ c_0 (R \cdot \varepsilon_{02} - \varepsilon_{01}) &= c_r (\varepsilon_{r2} - R \cdot \varepsilon_{r2}) \end{aligned}$$

D'où

$$c_r = c_0 \cdot \frac{R \cdot \varepsilon_{02} - \varepsilon_{01}}{\varepsilon_{r1} - R \cdot \varepsilon_{r2}}$$

A.1.4. Montrons que la saturation en oxygène :

$$SpO_2 = \frac{R \cdot \varepsilon_{r2} - \varepsilon_{r1}}{R \cdot (\varepsilon_{r2} - \varepsilon_{02}) - (\varepsilon_{r1} - \varepsilon_{01})}$$

Avec

$$\begin{aligned} SpO_2 &= \frac{c_0}{c_0 + c_r} \\ SpO_2 &= \frac{c_0}{c_0 + c_0 \cdot \frac{R \cdot \varepsilon_{02} - \varepsilon_{01}}{\varepsilon_{r1} - R \cdot \varepsilon_{r2}}} = \frac{1}{1 + \frac{R \cdot \varepsilon_{02} - \varepsilon_{01}}{\varepsilon_{r1} - R \cdot \varepsilon_{r2}}} \\ &= \frac{\varepsilon_{r1} - R \cdot \varepsilon_{r2}}{\varepsilon_{r1} - R \cdot \varepsilon_{r2} + R \cdot \varepsilon_{02} - \varepsilon_{01}} \\ SpO_2 &= \frac{R \cdot \varepsilon_{r2} - \varepsilon_{r1}}{R \cdot (\varepsilon_{r2} - \varepsilon_{02}) - (\varepsilon_{r1} - \varepsilon_{01})} \end{aligned}$$

A.1.5. A partir des spectres Hb et HbO_2 données en annexe 1, et pour les valeurs $\lambda_1 = 660\text{nm}$ et $\lambda_2 = 940\text{nm}$ cherchons les valeurs approchées de ε_{01} , ε_{r1} , ε_{02} et ε_{r2} .

Longueur d'onde λ nm	Coefficients d'absorption (cm^{-1}/M)	
	Hb	HbO_2
	ε_r	ε_0
$\lambda_1 = 660\text{nm}$	$\varepsilon_{r1} = 3227$	$\varepsilon_{01} = 320$
$\lambda_2 = 940\text{nm}$	$\varepsilon_{r2} = 694$	$\varepsilon_{02} = 1214$

A.1.6 Calculons les valeurs du rapport des absorbances R dans les cas pour $SpO_2 = 0$ et $SpO_2 = 1$

$$SpO_2 = \frac{R \cdot \varepsilon_{r2} - \varepsilon_{r1}}{R \cdot (\varepsilon_{r2} - \varepsilon_{02}) - (\varepsilon_{r1} - \varepsilon_{01})}$$

$$SpO_2 = \frac{694R - 3227}{R(694 - 1214) - (3227 - 320)} = \frac{694R - 3227}{-520R - 2907}$$

$$R(694 + 520 \cdot SpO_2) = 3227 - 2907 \cdot SpO_2$$

$$R = \frac{3227 - 2907 \cdot SpO_2}{694 + 520 \cdot SpO_2}$$

$$SpO_2 = 0 \leftrightarrow R = \frac{3227}{694} = 4.64$$

$$SpO_2 = 1 \leftrightarrow R = \frac{320}{1214} = 0.26$$

B - Chaine de transmission (Tx)

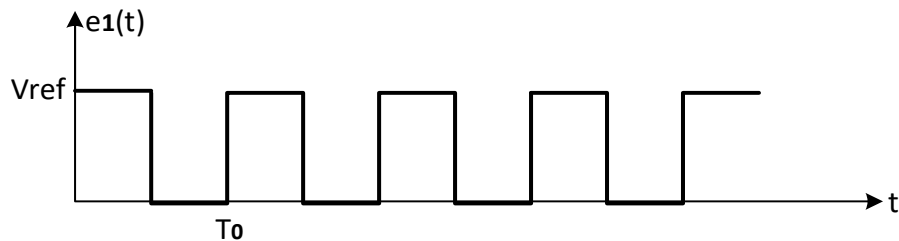
B.1. Amplificateur à découpage (chopper)

Modulation

B.1.1. Représentation la forme d'onde du signal $e_1(t)$.

D'après le schéma de la figure 6 :

$$e_1(t) = e(t) \times m(t) \text{ avec } e(t) = V_{\text{ref}}$$



B.1.2 Exploitation de la décomposition en série de Fourier

$$e_1(t) = e(t) \times m(t)$$

Décomposant en série de Fourier $m(t)$

$$m(t) = a_0 + \sum_{n=1}^{+\infty} a_n \cos(n \frac{2\pi}{T_0} t) + b_n \sin(n \frac{2\pi}{T_0} t)$$

$$a_0 = \frac{1}{T_0} \int_{-\frac{T_0}{2}}^{\frac{T_0}{2}} m(t) dt = \frac{1}{T_0} \int_0^{\frac{T_0}{2}} dt = \frac{1}{T_0} [\frac{T_0}{2}] = \frac{1}{2}$$

$$\begin{aligned} a_n &= \frac{2}{T_0} \int_{-\frac{T_0}{2}}^{\frac{T_0}{2}} m(t) \cdot \cos(n \frac{2\pi}{T_0} t) dt = \frac{2}{T_0} \int_0^{\frac{T_0}{2}} \cos(n \frac{2\pi}{T_0} t) dt = \frac{2}{T_0} \frac{T_0}{2n\pi} \left[\sin(n \frac{2\pi}{T_0} t) \right]_0^{\frac{T_0}{2}} \\ &= \frac{1}{n\pi} [\sin(n\pi) - \sin(0)] = 0 \end{aligned}$$

$$\begin{aligned} b_n &= \frac{2}{T_0} \int_{-\frac{T_0}{2}}^{\frac{T_0}{2}} m(t) \cdot \sin(n \frac{2\pi}{T_0} t) dt = \frac{2}{T_0} \int_0^{\frac{T_0}{2}} \sin(n \frac{2\pi}{T_0} t) dt = \frac{2}{T_0} \frac{T_0}{2n\pi} \left[-\cos(n \frac{2\pi}{T_0} t) \right]_0^{\frac{T_0}{2}} \\ &= \frac{1}{n\pi} [-\cos(n\pi) + 1] \end{aligned}$$

Alors

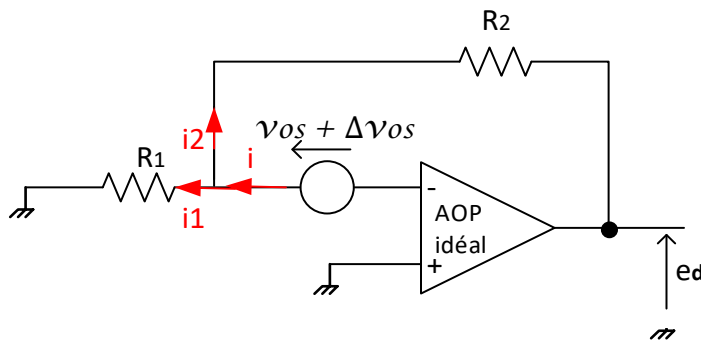
$$\begin{cases} \text{Si } n \text{ pair} & b_n = 0 \\ \text{si } n \text{ impair} & b_n = \frac{2}{n\pi} \end{cases}$$

$$m(t) = \frac{1}{2} + \sum_{k=1}^{+\infty} \frac{2}{(2k-1)\pi} \sin\left((2k-1) \frac{2\pi}{T_0} t\right) \quad \text{pour } k = 1, 2, \dots$$

$$\mathbf{e}_1(t) = e(t) \left(\frac{1}{2} + \frac{2}{\pi} \sin(\omega_0 t) + \frac{2}{3\pi} \sin(3\omega_0 t) + \frac{2}{5\pi} \sin(5\omega_0 t) + \dots \right) \text{ avec } \omega_0 = 2\pi/T_0$$

Amplification.

B.1.3. Montrons que l'expression de $e_d = k \cdot v_{os} + k \cdot \Delta v_{os}$.



Amplificateur Idéal $i = 0$ et $e_+ - e_- = 0$.

$$\begin{cases} e_d = -R_2 i_2 + R_1 i_1 \\ v_{os} + \Delta v_{os} = R_1 i_1 \\ i = i_1 + i_2 = 0 \end{cases} \quad \begin{cases} i_1 = -i_2 \\ v_{os} + \Delta v_{os} = R_1 i_1 \\ e_d = (R_1 + R_2) i_1 \end{cases}$$

$$\frac{e_d}{v_{os} + \Delta v_{os}} = \frac{R_1 + R_2}{R_1} = 1 + \frac{R_2}{R_1}$$

$$e_d = \left(1 + \frac{R_2}{R_1}\right) v_{os} + \left(1 + \frac{R_2}{R_1}\right) \Delta v_{os}$$

Et

$$k = \left(1 + \frac{R_2}{R_1}\right)$$

B.1.4 Montrons que $e_2(t) = -K_1 e(t) \left[\frac{1}{2} + \frac{2}{\pi} \sin(\omega_0 t) \right] + k \cdot v_{os} + k \cdot \Delta v_{os}$.

$$e_2(t) = -e_1(t) \frac{R_2}{R_1}$$

$$e_2(t) = -\frac{R_2}{R_1} e(t) \left(\frac{1}{2} + \frac{2}{\pi} \sin(\omega_0 t) + \frac{2}{3\pi} \sin(3\omega_0 t) + \frac{2}{5\pi} \sin(5\omega_0 t) + \dots \right)$$

D'après les données de l'énoncé, les harmoniques seront éliminées et ne reste que la composante continue et la fondamentale.

$$e_2(t) = -\frac{R_2}{R_1} e(t) \left(\frac{1}{2} + \frac{2}{\pi} \sin(\omega_0 t) \right)$$

En ajoutant la tension de décalage $e_d(t)$ à la sortie.

$$e_2(t) = -\frac{R_2}{R_1} e(t) \left(\frac{1}{2} + \frac{2}{\pi} \sin(\omega_0 t) \right) + k \cdot v_{os} + k \cdot \Delta v_{os}$$

Avec

$$K_1 = \frac{R_2}{R_1}$$

B.1.5 Expression de $e_3(t)$.

A partir de l'expression trouvée

$$e_2(t) = -\frac{R_2}{R_1} e(t) \left(\frac{1}{2} + \frac{2}{\pi} \sin(\omega_0 t) \right) + k \cdot v_{os} + k \cdot \Delta v_{os}$$

$e(t)$ est pratiquement constante, Δv_{os} due à la température à une fréquence très faible devant la fréquence de la fondamentale.

$$e_3(t) = -\frac{R_2}{R_1} \cdot \frac{2}{\pi} e(t) \sin(\omega_0 t)$$

Démodulation**B.1.6 Trouver l'expression du signal $e_4(t)$.**

$$\begin{aligned} e_4(t) &= e_3(t) \times m(t) = -\frac{R_2}{R_1} e(t) \left(\frac{2}{\pi} \sin(\omega_0 t) \right) \times m(t) \\ e_4(t) &= -\frac{R_2}{R_1} e(t) \left(\frac{2}{\pi} \sin(\omega_0 t) \right) \left(\frac{1}{2} + \frac{2}{\pi} \sin(\omega_0 t) + \frac{2}{3\pi} \sin(3\omega_0 t) + \frac{2}{5\pi} \sin(5\omega_0 t) + \dots \right) \end{aligned}$$

B.1.7. Expression de la tension de sortie $V(t)$.

$$\begin{aligned} e_4(t) &= -\frac{R_2}{R_1} e(t) \left(\frac{1}{\pi} \sin(\omega_0 t) + \frac{4}{\pi^2} \sin^2(\omega_0 t) + \frac{2}{3\pi} \sin(\omega_0 t) \cdot \sin(3\omega_0 t) + \frac{2}{5\pi} \sin(\omega_0 t) \cdot \sin(5\omega_0 t) \right. \\ &\quad \left. + \dots \right) \end{aligned}$$

Seul le terme $\frac{4}{\pi^2} \sin^2(\omega_0 t)$ est toujours positif, il comporte donc une composante continue :

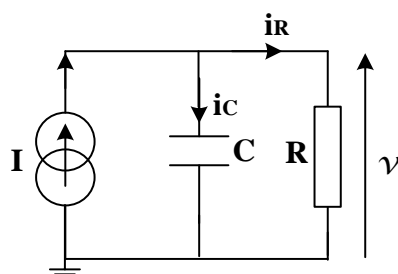
$$\frac{4}{\pi^2} \sin^2(\omega_0 t) = \frac{4}{\pi^2} \times \frac{1 - \cos(2\omega_0 t)}{2} = \frac{2}{\pi^2} - \frac{2}{\pi^2} \cos(2\omega_0 t)$$

D'où

$$e_4(t) = -\frac{R_2}{R_1} e(t) \left[\frac{2}{\pi^2} + \text{termes harmoniques de fréquence } k\omega_0, \text{ avec } k \geq 1 \right]$$

Après filtrage :

$$V(t) = -\frac{R_2}{R_1} e(t) \frac{2}{\pi^2}$$

C - Chaîne de réception Rx**C.1. Etude de la photodiode**

C.1.1 Montrons que $V_I = \frac{S_d R}{1+jRC\omega} \emptyset_I$.

$$V_I = Z_e \cdot I$$

$$Z_e = \frac{R \cdot \frac{1}{jC\omega}}{R + \frac{1}{jC\omega}} = \frac{R}{1 + jRC\omega}$$

$$V_I = Z_e \cdot I = \frac{R}{1 + jRC\omega} I$$

En remplaçant I par $S_d \Phi_I$

$$V_I = \frac{S_d \cdot R}{1 + jRC\omega} \Phi_I$$

C.1.2 Amplitude V_I en fonction de S_d , \emptyset_I , R , f_c et f .

$$f_c = \frac{1}{2\pi RC}, \quad \omega = 2\pi f$$

$$V_I = \frac{S_d R}{1 + j2\pi R C f} \Phi_I = \frac{S_d R}{1 + j \frac{f}{f_c}} \Phi_I$$

C.1.3 La sensibilité $S(f)$

La sensibilité est définie comme le module du rapport $\tilde{v}/\tilde{\varphi}$

$$S(f) = \frac{|V_I|}{|\Phi_I|} = \frac{S_d R}{\sqrt{1 + \left(\frac{f}{f_c}\right)^2}}$$

C.1.4 En régime statique $f = 0$.

$$S(0) = \frac{RS_d}{\sqrt{1 + \left(\frac{0}{f_c}\right)^2}} = S_d R$$

C.1.5. La sensibilité de la photodiode pour les fréquences f_c , $2f_c$ et $10f_c$.

$$S(f_c) = \frac{S_d R}{\sqrt{1 + \left(\frac{f_c}{f_c}\right)^2}} = \frac{S_d R}{\sqrt{2}}$$

$$S(2f_c) = \frac{S_d R}{\sqrt{1 + \left(\frac{2f_c}{f_c}\right)^2}} = \frac{S_d R}{\sqrt{5}}$$

$$S(10f_c) = \frac{S_d R}{\sqrt{1 + \left(\frac{10f_c}{f_c}\right)^2}} = \frac{S_d R}{\sqrt{101}}$$

C.1.6. Compléter le tableau du document réponse C.1.6 pour $C = 5pF$ et $R = 180K\Omega$.

D'après l'annexe 3, la sensibilité propre de la photodiode :

Pour $\lambda_1 = 660nm \rightarrow S_d = 0.47A/W$

Pour $\lambda_2 = 940nm \rightarrow S_d = 0.77A/W$

	$\lambda_1 = 660 \text{ nm}$	$\lambda_2 = 940 \text{ nm}$
Sensibilité S_d en A/W	0.47	0.77
$S(0)$	84600 V/W	138600 V/W
$S(f_c)$	59400 V/W	97200 V/W
$S(2f_c)$	37800 V/W	61200 V/W
$S(10f_c)$	8280 V/W	13680 V/W

C2. Amplificateur à Transimpédance TIA (convertisseur courant-tension)

C.2.1. Fonction de transfert équivalente

$$T(jf) = \frac{V_0(jf)}{I_{PH}(jf)}$$

$$V_0 = -Z_F I_{PH}$$

$$T(jf) = \frac{V_0}{I_{PH}} = -Z_F = -\frac{R_F \times \frac{1}{j2\pi C_F f}}{R_F + \frac{1}{j2\pi C_F f}}$$

$$T(jf) = -\frac{R_F}{1 + j2\pi R_F C_F f}$$

$$T(jf) = -\frac{R_F}{1 + j\frac{f}{f_c}} \quad \text{avec } f_c = \frac{1}{2\pi R_F C_F}$$

C.2.2. Phase de $T(jf)$.

$$\theta = \pi - \text{Arctan} \left(\frac{f}{f_c} \right)$$

C.2.3 Expression de $NG(j\omega)$

$$V_0 + Z_{BF} I_{IN} - V_n = 0$$

$$V_n = -Z_{IN} I_{IN} \Rightarrow I_{IN} = -\frac{V_n}{Z_{IN}}$$

$$V_0 - Z_{BF} \frac{V_n}{Z_{IN}} - V_n = 0 \Leftrightarrow V_0 = \left(\frac{Z_{BF}}{Z_{IN}} + 1 \right) V_n$$

$$NG(j\omega) = \frac{V_0(j\omega)}{V_n(j\omega)} = 1 + \frac{Z_{BF}(j\omega)}{Z_{IN}(j\omega)}$$

C.2.4. Montrons que

$$V_0(j\omega) = \frac{R_f + R_e}{R_e} \cdot \frac{1 + \frac{R_f R_e}{R_f + R_e} (C_f + C_e) j\omega}{1 + jR_f C_f \omega} V_n$$

$$V_0(j\omega) = NG(j\omega) \cdot V_n(j\omega) = \left(1 + \frac{Z_{BF}(j\omega)}{Z_{IN}(j\omega)} \right) \cdot V_n(j\omega)$$

$$V_0(j\omega) = \left(1 + \frac{\frac{R_F}{1+jR_F C_F \omega}}{\frac{R_e}{1+jR_e C_e \omega}} \right) \cdot V_n(j\omega) = \left(1 + \frac{\frac{R_F}{R_e}}{\frac{1+jR_F C_F \omega}{1+jR_e C_e \omega}} \right) \cdot V_n(j\omega)$$

$$\begin{aligned}
 V_0(j\omega) &= \left(1 + \frac{R_F}{R_e} \times \frac{1 + jR_F C_F \omega}{1 + jR_e C_e \omega}\right) \cdot V_n(j\omega) \\
 V_0(j\omega) &= \left(\frac{R_e (1 + jR_F C_F \omega) + R_F (1 + jR_e C_e \omega)}{R_e (1 + jR_F C_F \omega)}\right) \cdot V_n(j\omega) \\
 V_0(j\omega) &= \left(\frac{R_e + R_F + R_e R_F (C_e + C_F) j\omega}{R_e (1 + jR_F C_F \omega)}\right) \cdot V_n(j\omega) \\
 V_0(j\omega) &= \left(\frac{R_e + R_F}{R_e} \cdot \frac{1 + j \frac{R_e R_F}{R_e + R_F} (C_e + C_F) \omega}{1 + jR_F C_F \omega}\right) \cdot V_n(j\omega)
 \end{aligned}$$

C.2.5. Approximation de $V_0(j\omega)$ pour $R_e \gg R_F$

$$\frac{R_e + R_F}{R_e} = 1 + \frac{R_F}{R_e} \approx 1$$

Et

$$\frac{R_e R_F}{R_e + R_F} = \frac{R_F}{1 + \frac{R_F}{R_e}} \approx R_F$$

D'où

$$V_0(j\omega) = \left(\frac{1 + j R_F (C_e + C_F) \omega}{1 + jR_F C_F \omega}\right) \cdot V_n(j\omega)$$

C.2.6 fréquence relative au zéro de la fonction de transfert du bruit $NG(j\omega)$

$$f_z = \frac{1}{2\pi R_F (C_e + C_F)}$$

C.2.7 fréquence relative au pôle de la fonction de transfert du bruit $NG(j\omega)$

$$f_p = \frac{1}{2\pi R_F C_F}$$

C.3. Amplificateur à Transconductance OTA

C.3.1 Justifier l'utilisation de la simplification

$$g_0 = \frac{1}{r_{ds1}} + \frac{1}{r_{ds3}} = \frac{1}{r_{ds2}} + \frac{1}{r_{ds4}}$$

$$C_p = C_{db1} + C_{db3} = C_{db2} + C_{db4}$$

Les résistances et les capacités de chaque branche sont montées en parallèle. De plus les transistors sont identiques. D'où g_0 et C_p représentent respectivement la conductance équivalente et la capacité de équivalente de chaque branche.

Sachant que $V_{out} = V_{out}^+ - V_{out}^-$ et $V_{in} = V_{in2} - V_{in1}$.

$$\text{Montrer que la fonction de transfert } F(j\omega) = \frac{V_{out}}{V_{in}} = \frac{g_m}{g_0 + j\omega(C + C_p)}.$$

$$-g_m V_{in1} = (g_0 + j\omega(C_p + C)) V_{out}^-$$

$$\begin{aligned} -g_m V_{in2} &= \left(g_0 + j\omega(C_p + C) \right) V_{out}^+ \\ -g_m (V_{in2} - V_{in1}) &= (g_0 + j\omega(C_p + C))(V_{out}^+ - V_{out}^-) \end{aligned}$$

Alors

$$F(j\omega) = \frac{V_{out}}{V_{in}} = -\frac{g_m}{g_0 + j\omega(C_p + C)}$$

C.3.3. Gain statique G et la fréquence de coupure f_c .

$$\begin{aligned} F(p) &= \frac{-\frac{g_m}{g_0}}{1 + j\omega \frac{(C_p + C)}{g_0}} = -\frac{g_m}{g_0} \times \frac{1}{1 + j\frac{\omega}{\omega_c}} \\ \omega_c &= \frac{g_0}{C_p + C} = 2\pi f_c \end{aligned}$$

Le gain statique

$$G = -\frac{g_m}{g_0}$$

La fréquence de coupure

$$f_c = \frac{g_0}{2\pi(C_p + C)}$$

La capacité parasite modifie la fréquence de coupure.

D - Conversion analogique numérique (ADC)

D.1. Etude de l'échantillonnage

D.1.1 Expression analytique du signal échantillonné $x_e(t)$.

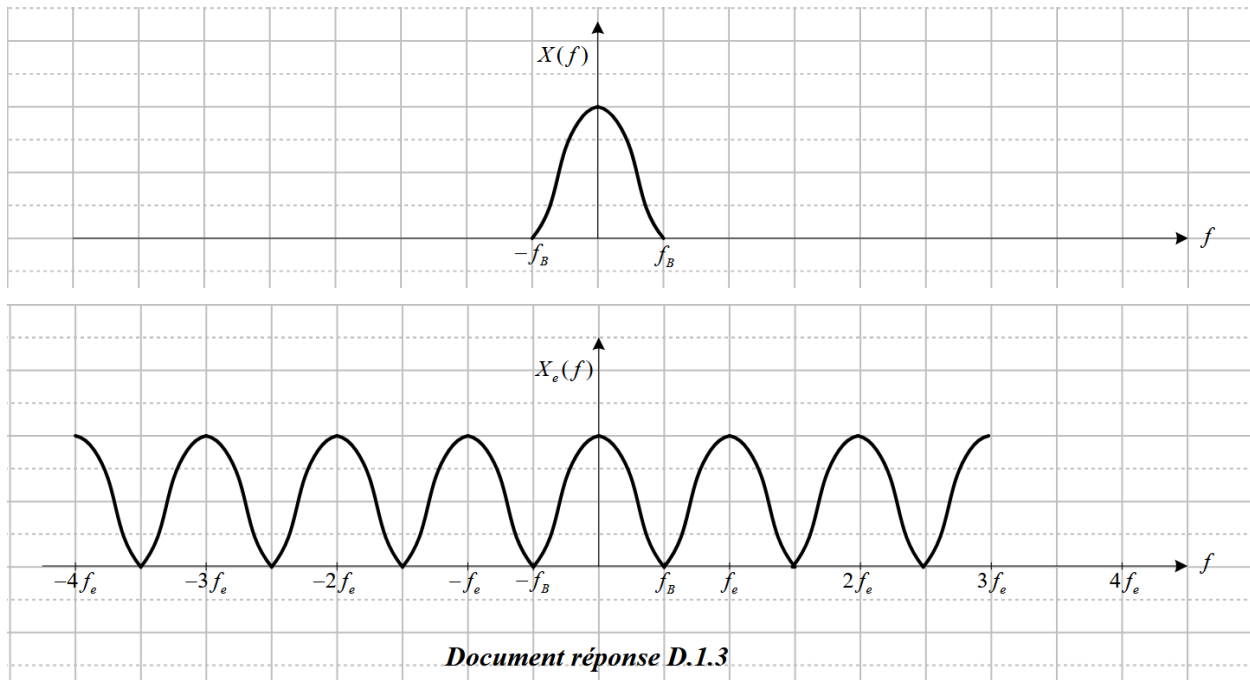
$$x_e(t) = x(t) \sum_{n=-\infty}^{+\infty} \delta(t - nT_e) = \frac{1}{T_e} x(t) \sum_{n=-\infty}^{+\infty} e^{j2\pi n f_e t}$$

D.1.2. Transformée de Fourier de $X_e(f)$.

D'après la propriété de décalage fréquentiel :

$$\begin{aligned} x_e(t) &= \frac{1}{T_e} \sum_{n=-\infty}^{+\infty} x(t) e^{j2\pi n f_e t} \\ X_e(f) &= \frac{1}{T_e} \sum_{n=-\infty}^{+\infty} X(f - nf_e) \end{aligned}$$

D.1.3. Représentation sur document réponse A.1.3 du spectre $X_e(f)$.



D.1.4. Fréquence d'échantillonnage minimale.

$$f_B = 20 \text{ Hz} \Rightarrow f_{e_{\min}} = 2f_B = 40 \text{ Hz} \quad (\text{d'après le théorème de shannon})$$

D2. Quantificateur uniforme N bits

D.2.1 Expression du pas de quantification q.

$$q = \frac{V_{FS}}{2^N}$$

D.2.2. Pour N = 16 bits et V_{FS} = 2V.

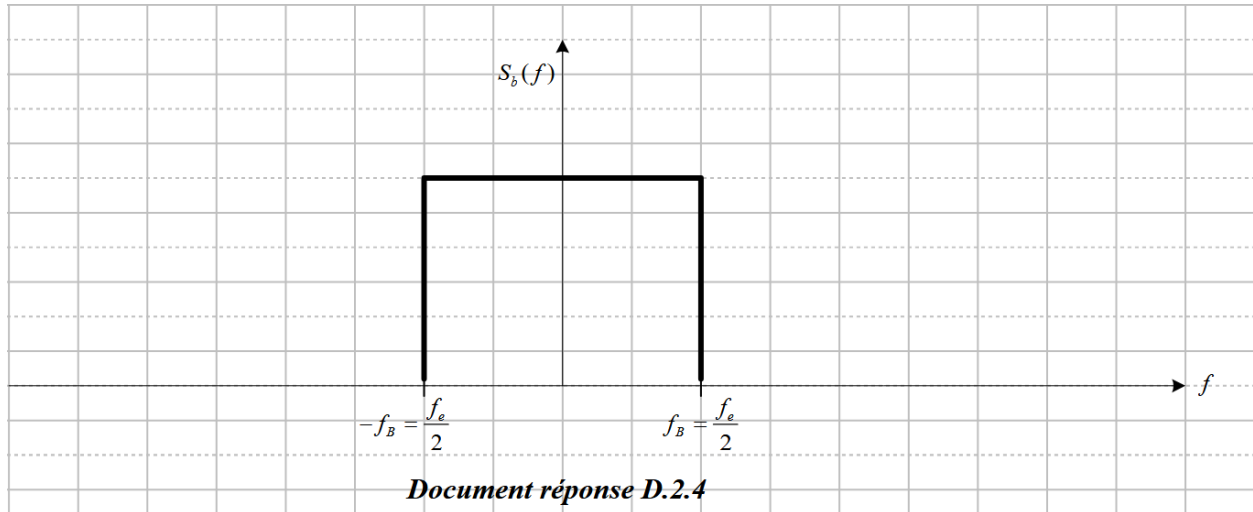
$$q = \frac{2}{2^{16}} = 30,517 \mu V$$

D.2.3 Montrons que $\sigma^2 = \frac{q^2}{12}$.

$$\begin{aligned} \sigma^2 &= \frac{1}{q} \int_{-\frac{q}{2}}^{\frac{q}{2}} e^2(t) dt \\ &= \frac{1}{q} \int_{-\frac{q}{2}}^{\frac{q}{2}} t^2 dt \\ &= \frac{1}{3q} [t^3]_{-\frac{q}{2}}^{\frac{q}{2}} \\ &= \frac{1}{3q} \times \frac{2q^3}{2^3} = \frac{q^2}{12} \end{aligned}$$

D.2.4 Représentation de la densité spectrale de puissance $S_b(f)$ sur le document réponse D.2.4, pour $N = 16, V_{FS} = 2V$ et $f_e = 40Hz$.

$$S_b(f) = \frac{(30,517 \cdot 10^{-6})^2}{12 \times 40} = 2,07 \cdot 10^{-12} V^2/Hz$$



D.2.5. Montrons que $SNR_{dB} \approx 6,02N + 1,76$.

$$X_{eff} = \frac{V_{FS}}{2\sqrt{2}}$$

$$SNR = \frac{X_{eff}}{\sigma_{eff}} = \frac{X_{eff}}{\sigma} = \sqrt{\frac{X_{eff}^2}{\sigma^2}}$$

$$= \sqrt{\frac{\frac{V_{FS}^2}{8}}{\frac{q^2}{12}}} = \frac{V_{FS}}{q} \sqrt{\frac{3}{2}} = 2^N \sqrt{\frac{3}{2}}$$

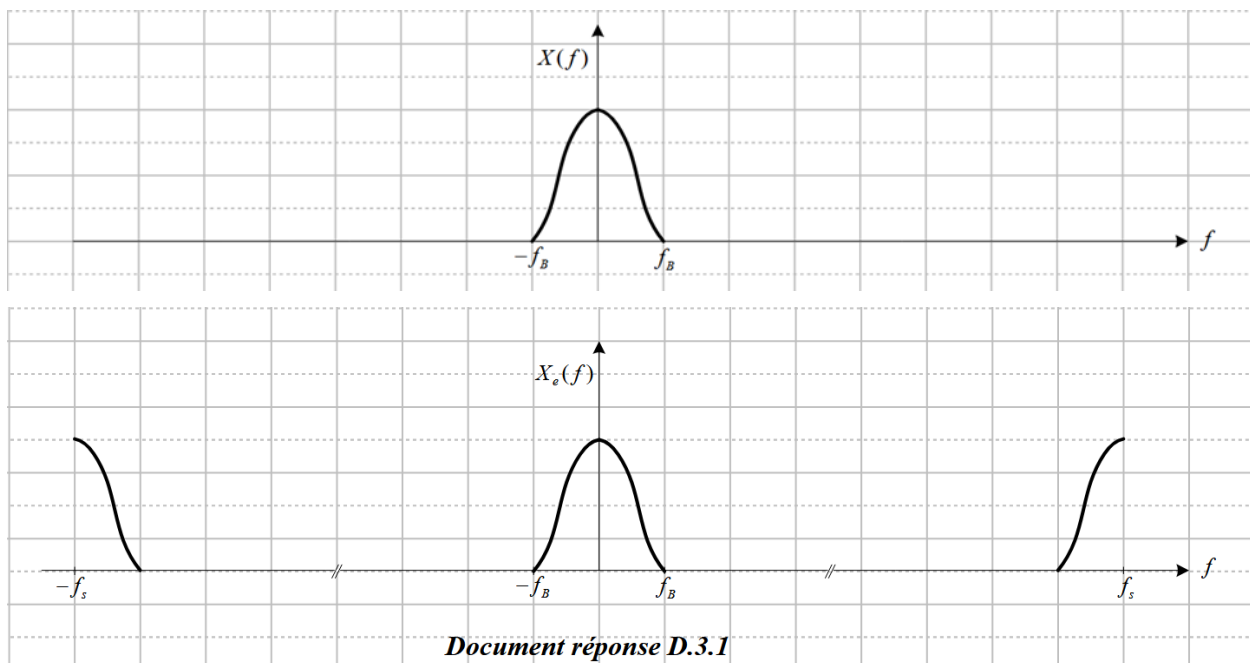
$$SNR_{dB} = 20 \log \left(2^N \sqrt{\frac{3}{2}} \right)$$

$$= 20N \times \log(2) + 10 \log \left(\frac{3}{2} \right)$$

$$\approx 6.02N + 1,76$$

D.3. Etude de sur-échantillonnage

D.3.1 Représentation du spectre du signal échantillonné à la fréquence f_s , sur le document réponse D.3.1.

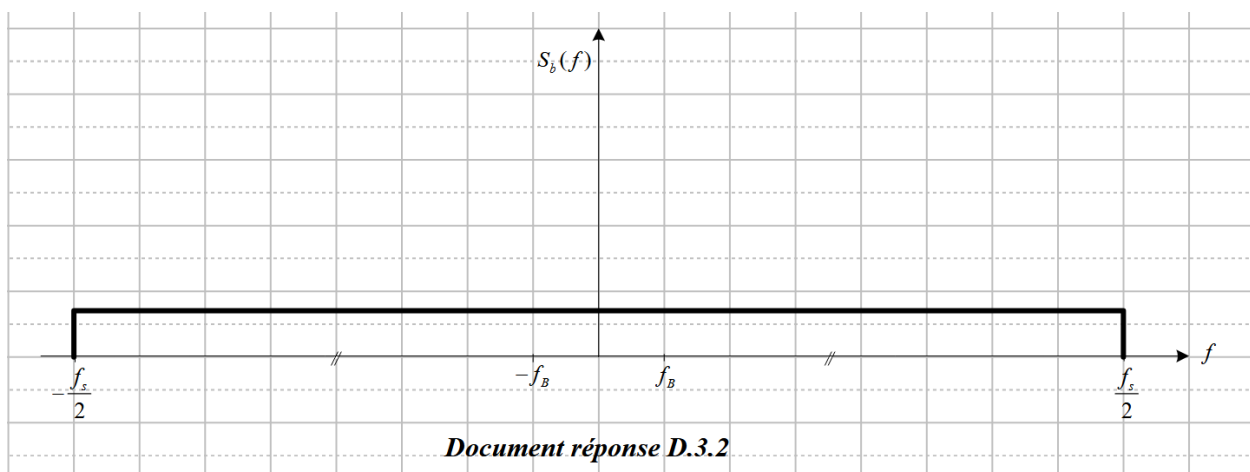


On remarque que le sur-échantillonnage réduit la complexité du filtre anti-repliement.

D.3.2. Représentation de la densité spectrale de puissance de bruit de quantification sur le document réponse D.3.2, pour = 16bits , $V_{FS} = 2V$ et $f_s = 20,48\text{kHz}$.

La densité spectrale de puissance est constante dans la plage $\left[-\frac{f_s}{2}, +\frac{f_s}{2}\right]$

$$S_b(f) = \frac{(30,517 \cdot 10^{-6})^2}{12 \times 20480} = 4,04 \cdot 10^{-15} V^2/\text{Hz}$$



D4. Etude du Convertisseur analogique numérique sigma-delta

D.4.1. $X(z) = H(z)X_i(z) + H_q(z)E(z)$.

$$X(z) = (X_i(z) - X(z)) \times \frac{z^{-1}}{1 - z^{-1}} + E(z)$$

$$(1 - z^{-1})X(z) = (X_i(z) - X(z))z^{-1} + (1 - z^{-1})E(z)$$

$$(1 - z^{-1})X(z) + z^{-1}X(z) = z^{-1}X_i(z) + (1 - z^{-1})E(z)$$

D'où

$$X(z) = z^{-1}X_i(z) + (1 - z^{-1})E(z)$$

avec $H(z) = z^{-1}$ et $H_q(z) = 1 - z^{-1}$

D.4.2. Réponse fréquentielle $H_q(e^{j\Omega})$.

$$H_q(e^{j\Omega}) = 1 - e^{-j\Omega} = e^{-j0} - e^{-j\Omega} = 2je^{-\frac{j\Omega}{2}} \sin\left(\frac{\Omega}{2}\right)$$

D.4.3. Module $|H_q(f)|$ en fonction de f .

$$|H_q(f)| = 2 \left| \sin\left(\frac{2\pi f}{2f_s}\right) \right| = 2 \left| \sin\left(\frac{\pi f}{f_s}\right) \right|$$

D.4.4. Réponse du modulateur du second ordre

$$X(z) = \left((X_i(z) - X(z)) \frac{1}{1 - z^{-1}} - X(z) \right) \frac{z^{-1}}{1 - z^{-1}} + E(z)$$

$$X(z) = \left((X_i(z) - X(z)) \frac{1}{(1 - z^{-1})^2} - \frac{X(z)}{1 - z^{-1}} \right) z^{-1} + E(z)$$

$$(1 - z^{-1})^2 X(z) =$$

$$(X_i(z) - X(z) - (1 - z^{-1})X(z))z^{-1} + (1 - z^{-1})^2 E(z)$$

$$(1 - z^{-1})^2 X(z) + z^{-1} X(z) + z^{-1}(1 - z^{-1})X(z) = z^{-1} X_i(z) + (1 - z^{-1})^2 E(z)$$

$$X(z)(1 - 2z^{-1} + z^{-2} + 2z^{-1} - z^{-2}) = z^{-1} X_i(z) + (1 - z^{-1})^2 E(z)$$

D'où

$$X(z) = z^{-1} X_i(z) + (1 - z^{-1})^2 E(z)$$

avec $H(z) = z^{-1}$ et $H_q(z) = (1 - z^{-1})^2$

D.4.5. Réponse fréquentielle $H_q(f)$.

$$H_q(e^{j\Omega}) = (1 - e^{-j\Omega})^2 = \left(2je^{-\frac{j\Omega}{2}} \sin\left(\frac{\Omega}{2}\right) \right)^2$$

$$H_q(e^{j\Omega}) = -4e^{-j\Omega} \sin^2\left(\frac{\Omega}{2}\right)$$

D.4.6. Module $|H_q(f)|$ en fonction de f .

$$|H_q(f)| = 4 \sin^2\left(\frac{\pi f}{f_s}\right)$$

D.4.7 Densité spectrale $S_b(f)$, pour $N = 16$ bits, $V_{FS} = 2V$ et $f_s = 20,48$ kHz.

$$S_b(f) = S_e(f) \times |H_q(f)|^2 = \frac{q^2}{6f_s} \times |H_q(f)|^2 = \frac{q^2}{6f_s} \cdot 16 \sin^4\left(\frac{\pi f}{f_s}\right)$$

$$S_b(f) = \frac{q^2}{3f_s} \cdot 8 \sin^4\left(\frac{\pi f}{f_s}\right)$$

$$S_b(f) = 121,261 \cdot 10^{-15} \sin^4\left(\frac{\pi f}{f_s}\right)$$

D.4.8. Valeurs de $S_b(f)$ pour $f = f_B = 20\text{Hz}$ et $f = \frac{f_s}{2} = 10,24\text{kHz}$.

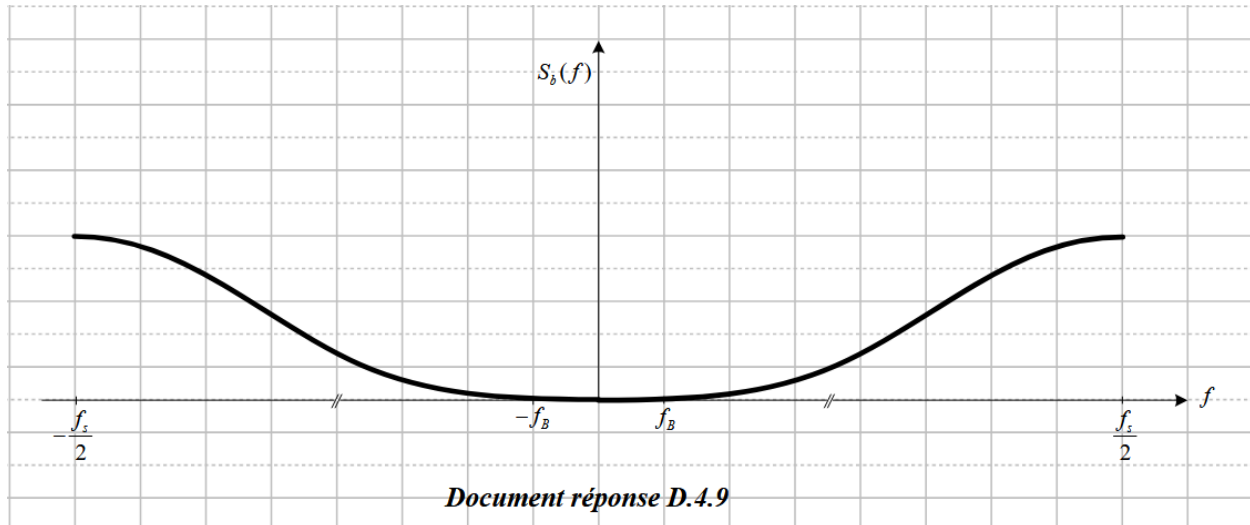
Pour $f = f_B = 20\text{Hz}$,

$$S_b(f_B) = 121,261 \cdot 10^{-15} \sin^4\left(\frac{\pi 20}{20480}\right) = 1,074 \cdot 10^{-23} V^2/\text{Hz}$$

Pour $f = \frac{f_s}{2} = 10,24\text{kHz}$,

$$S_b\left(\frac{f_s}{2}\right) = 121,261 \cdot 10^{-15} \sin^4\left(\frac{\pi}{2}\right) = 121,261 \cdot 10^{-15} V^2/\text{Hz}$$

D.4.9 Courbe de $S_b(f)$



D.4.10. Comparaison de trois courbes de la densité spectrale de puissance de bruit de quantification.

- $S_b(f)$ est constante dans la plage $\left[-\frac{f_s}{2}, +\frac{f_s}{2}\right]$ et vaut $2,07 \cdot 10^{-12} V^2/\text{Hz}$.
- $S_b(f)$ est constante dans la plage $\left[-\frac{f_s}{2}, +\frac{f_s}{2}\right]$ et vaut $4,04 \cdot 10^{-15} V^2/\text{Hz}$
- Le bruit est faible dans la bande passante et augmente au fur et à mesure quand on s'éloigne de la bande passante, il atteint sa valeur maximale à $\frac{f_s}{2}$.

Conclusion : le sur-échantillonnage diminue le bruit de quantification. Un module de décimation peut être utilisé pour avoir la résolution voulue.

Le modulateur sigma-delta rejette le bruit de quantification en dehors de la bande passante. Un module de décimation est nécessaire pour filtrer le bruit et augmenter la résolution de l'ADC

D.5. Décimation

D.5.1 Montrons que $y(n) = y(n - 1) + x(n) - x(n - R)$.

Notons $a(n)$ la sortie du bloc Comb.

$$\begin{cases} a(n) = x(n) - x(n - R) \\ y(n) = y(n - 1) + a(n) \end{cases}$$

D'où $y(n) = y(n - 1) + x(n) - x(n - R)$

D.5.2. Sortie $Y(z)$ et fonction de transfert $T(z) = \frac{Y(z)}{X(z)}$.

$$Y(z) = z^{-1}Y(z) + X(z) - z^{-R}X(z)$$

Fonction de transfert

$$\begin{aligned} Y(z) &= z^{-1}Y(z) + X(z) - z^{-R}X(z) \\ (1 - z^{-1})Y(z) &= (1 - z^{-R})X(z) \end{aligned}$$

D'où

$$T(z) = \frac{Y(z)}{X(z)} = \frac{1 - z^{-R}}{1 - z^{-1}}$$

D.5.3 Montrons que c'est l'équivalent d'un filtre RIF d'ordre R et exprimons la sortie $y(n)$ sous la forme non récursive.

La division euclidienne de $(1 - z^{-R})$ par $(1 - z^{-1})$ nous donne :

$$T(z) = 1 + z^{-1} + z^{-2} + \dots + z^{-(R-1)} = \sum_{k=0}^{(R-1)} z^{-k}$$

C'est bien un filtre RIF d'ordre $R - 1$.

Equation de $y(n)$ sous la forme non récursive

$$Y(z) = T(z)X(z) = X(z) + z^{-1}X(z) + z^{-2}X(z) + \dots + z^{-(R-1)}X(z)$$

D'où

$$y(n) = x(n) + x(n - 1) + x(n - 2) + \dots + x(n - R + 1)$$

$$y(n) = \sum_{k=0}^{(R-1)} x(n - k)$$

D.5.4. Le filtre en peigne nécessite pour son implémentation deux opérations arithmétiques (1 soustraction et 1 addition) quel que soit l'ordre du filtre ; alors que le filtre RIF nécessite $(R - 1)$ additions. Le filtre en peigne est toujours stable puisqu'il est équivalent d'un filtre RIF.

D.5.5

$$\begin{cases} a(n) = x(n) + a(n - 1) & (1) \\ y(n) = a(n) - a(n - R) & (2) \end{cases}$$

(1) et (2) donne

$$y(n) = x(n) + a(n - 1) - a(n - R) \quad (3)$$

à partir de (2) on peut écrire

$$\begin{aligned} y(n - 1) &= a(n - 1) - a(n - R - 1) \\ \Rightarrow a(n - 1) &= y(n - 1) + a(n - R - 1) \quad (4) \end{aligned}$$

remplaçant (4) dans (3)

$$y(n) = x(n) + y(n-1) + a(n-R-1) - a(n-R) \quad (5)$$

A partir de (1), on peut écrire

$$a(n-R) = x(n-R) + a(n-R-1)$$

d'où

$$x(n-R) = a(n-R) - a(n-R-1) \quad (6)$$

replaçant dans (5) $a(n-R-1) - a(n-R)$ par $-x(n-R)$

$$\mathbf{y(n)} = \mathbf{x(n)} + \mathbf{y(n-1)} - \mathbf{x(n-R)}$$

Autre méthode : Il suffit d'exploiter la propriété de commutativité de convolution des systèmes linéaires invariants (LTI) : $h_1(n) * h_2(n) = h_2(n) * h_1(n)$

D.5.6 Montrons l'équivalence de la structure de la figure 22 et celle de la figure 23.

- Structure de la figure 22.

On calcule $y(0), y(1) \dots y(7)$ et on ne retient de $y(3)$ et $y(7)$

$$y(n) = x(n) + y(n-1) - x(n-4)$$

$$y(0) = x(0) + y(-1) - x(-4) = x(0)$$

$$y(1) = x(1) + y(0) - x(-3) = x(1) + x(0)$$

$$y(2) = x(2) + y(1) - x(-2) = x(2) + x(1) + x(0)$$

$$y(3) = x(3) + y(2) - x(-1) = x(3) + x(2) + x(1) + x(0)$$

$$\mathbf{y(3) = x(3) + x(2) + x(1) + x(0)} \quad (*)$$

$$y(4) = x(4) + y(3) - x(0) = x(4) + x(3) + x(2) + x(1) + x(0) - x(0) = x(4) + x(3) + x(2) + x(1)$$

$$y(5) = x(5) + y(4) - x(1) = x(5) + x(4) + x(3) + x(2) + x(1) - x(5) = x(5) + x(4) + x(3) + x(2)$$

$$y(6) = x(6) + y(5) - x(2) = x(6) + x(5) + x(4) + x(3) + x(2) - x(2) = x(6) + x(5) + x(4) + x(3)$$

$$y(7) = x(7) + y(6) - x(3) = x(7) + x(6) + x(5) + x(4) + x(3) - x(3) = x(7) + x(6) + x(5) + x(4)$$

$$\mathbf{y(7) = x(7) + x(6) + x(5) + x(4)} \quad (**) \quad (**)$$

- Structure de la figure 23.

$$a(3) = x(3) + x(2) + x(1) + x(0)$$

$$y(3) = a(3) - a(3-4) = a(3)$$

$$y(3) = x(3) + x(2) + x(1) + x(0) \quad (*)$$

$$a(7) = x(7) + x(6) + x(5) + x(4) + x(3) + x(2) + x(1) + x(0)$$

$$y(7) = a(7) - a(7-4) = a(7) - a(3)$$

$$y(7) = x(7) + x(6) + x(5) + x(4) \quad (**)$$

On remarque bien que les deux structures ont la même réponse

D.5.7. Fonction de Transfert $T(z)$ en introduisant le rapport de moyennage.

$$T(z) = \frac{Y(z)}{X(z)} = \frac{1}{R} \cdot \frac{1 - z^{-R}}{1 - z^{-1}}$$

$$D.5.8. Fonction de transfert T_3(z) = \frac{Y(z)}{X(z)}.$$

$$T_3(z) = \frac{Y(z)}{X(z)} = \frac{1}{R^3} \cdot \left(\frac{1 - z^{-R}}{1 - z^{-1}} \right)^3$$

$$\text{Pour } R = 16, \quad T_3(z) = \frac{1}{4096} \cdot \left(\frac{1 - z^{-16}}{1 - z^{-1}} \right)^3 = 244,140 \cdot 10^{-6} \left(\frac{1 - z^{-16}}{1 - z^{-1}} \right)^3$$

D.5.9. Réponse fréquentielle $T_3(f)$.

$$T(\Omega) = \frac{1}{R} \times \frac{1 - e^{-jR\Omega}}{1 - e^{-j\Omega}} = \frac{1}{R} \times \frac{e^{-j\frac{R\Omega}{2}} \left(e^{j\frac{R\Omega}{2}} - e^{-j\frac{R\Omega}{2}} \right)}{e^{-j\frac{\Omega}{2}} \left(e^{j\frac{\Omega}{2}} - e^{-j\frac{\Omega}{2}} \right)}$$

$$T(\Omega) = \frac{1}{R} \times \frac{e^{-j\frac{R\Omega}{2}}}{e^{-j\frac{\Omega}{2}}} \times \frac{\left(e^{j\frac{R\Omega}{2}} - e^{-j\frac{R\Omega}{2}} \right)}{\underbrace{\left(e^{j\frac{\Omega}{2}} - e^{-j\frac{\Omega}{2}} \right)}_{2j}}$$

$$T(\Omega) = \frac{1}{R} \times e^{-j\frac{(R-1)\Omega}{2}} \left(\frac{\sin\left(\frac{R\Omega}{2}\right)}{\sin\left(\frac{\Omega}{2}\right)} \right)$$

Or

$$\begin{aligned} \Omega &= \omega T_s = \frac{2\pi f}{f_s} \\ T(f) &= \frac{1}{R} \times e^{-j\frac{(R-1)\pi f}{f_s}} \left(\frac{\sin\left(\frac{R\pi f}{f_s}\right)}{\sin\left(\frac{\pi f}{f_s}\right)} \right) \\ T_3(f) &= \frac{1}{R^3} e^{-j\frac{3(R-1)\pi f}{f_s}} \left(\frac{\sin\left(\frac{R\pi f}{f_s}\right)}{\sin\left(\frac{\pi f}{f_s}\right)} \right)^3 \end{aligned}$$

Etant donné $R = 16$

$$T_3(f) = \frac{1}{16^3} e^{-j\frac{45\pi f}{f_s}} \left(\frac{\sin\left(\frac{16\pi f}{f_s}\right)}{\sin\left(\frac{\pi f}{f_s}\right)} \right)^3$$

D.5.10 calcul des modules $|T_3(f_B)|$, $\left|T_3\left(\frac{f_s}{16}\right)\right|$ et $\left|T_3\left(\frac{\frac{3}{2}f_s}{16}\right)\right|$, pour $f_B = 20\text{Hz}$ et $f_s = 20,48\text{kHz}$.

$$|T_3(f)| = \left(\frac{1}{16} \left| \frac{\sin\left(\frac{16\pi f}{f_s}\right)}{\sin\left(\frac{\pi f}{f_s}\right)} \right|^3 \right)$$

- $|T_3(f_B)| = 0,9985 = -0.013\text{dB}$
- $\left|T_3\left(\frac{f_s}{16}\right)\right| = 0$
- $\left|T_3\left(\frac{\frac{3}{2}f_s}{16}\right)\right| = 0,00998 = -40\text{dB}$

Conclusion : Ce filtre présente une faible atténuation dans la bande passante ($< 0,013\text{dB}$) et une atténuation supérieure à 40dB pour les fréquences supérieures à $\frac{f_s}{16}$.